

研究简报

新型聚合物载体茂金属催化剂

于广谦* 张德泽 孙 福 乔立军 唐 涛 黄葆同

(中国科学院长春应用化学研究所高分子物理与化学国家重点实验室;
中国科学院 中国石油化学工业总公司高分子化学联合开放实验室 长春 130022)

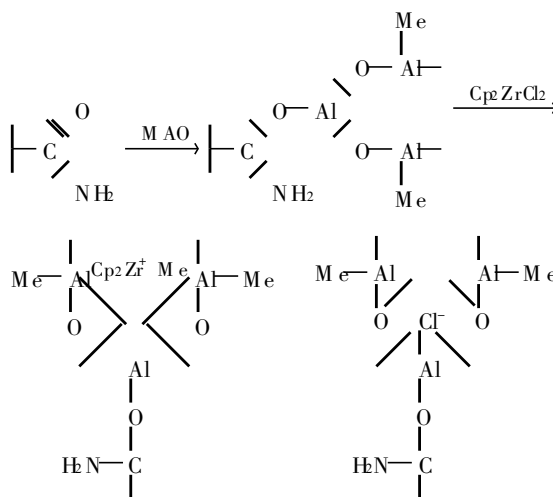
关键词 聚合物载体,茂金属催化剂,乙烯聚合

中图分类号: O631

文献标识码: A

文章编号: 1000-0518(2001)04-0309-03

均相茂金属催化剂虽然有许多优点和特点,但也存在着某些不足之处,例如,不适于现在通用的气相和淤浆聚合工艺;要想达到足够的聚合活性需大量价格昂贵的 MAO;相当多的均相茂金属催化剂不适于高温聚合(活性降低,分子量极低),不能很好地控制聚合物的形态。为了在工业上得到实际应用,必须将它们载体(非均相)化。通常采用的载体都是无机物,如 SiO_2 、 MgCl_2 、 Al_2O_3 等^[1~6]。由于无机载体表面具有酸性,负载茂金属后,得到的催化剂活性有所降低。用聚合物作茂金属催化剂的载体很少有报道^[7,8]。我们研制了一种新型的聚合物载体茂金属催化剂,既可保持均相茂金属催化剂特点和优点,又能克服其缺点。其合成路线如下:



聚合物载体茂金属化合物的合成及聚合实验与以前报道相同^[9]。

交联聚(苯乙烯-丙烯酰胺)(SAA)的制备: 将安瓿加热, 抽空, 充氮, 冷却后加入一定量的丙烯

酰胺、苯乙烯和冰醋酸, 用注射器准确加入计量的二乙烯基苯, 最后加入引发剂偶氮二异丁腈(AIBN), 于 80℃ 水浴中反应 6 h。所得产物经汽油、蒸馏水洗涤后, 真空干燥, 用 94μm 筛筛选取。

聚合物载体茂锆催化剂聚(苯乙烯丙烯酰胺)载体锆(PSAm-Zr)的制备: 在自制的催化剂反应瓶中加入 50 mL 甲苯和 2 g 聚合物载体, 搅拌均匀后, 缓慢加入一定量的 MAO 甲苯溶液, 于 50℃ 油浴中反应 2 h 后, 过滤, 洗去未反应的 MAO, 再加入计量的 Cp^2ZrCl_2 的甲苯溶液, 50℃ 反应 5 h, 过滤, 洗涤数次, 即得到固体颗粒催化剂。

乙烯聚合: 在 2 L 不锈钢反应釜和 Ø100 mm 气相反应釜中进行乙烯聚合, 聚合一定时间后, 用含少量盐酸的乙醇溶液终止聚合反应。将聚合物用乙醇洗数次, 在 40℃ 下真空干燥 24 h。

结果与讨论

针对高分子载体催化剂的特性和聚合规律, 研制出适合于高分子载体茂金属催化剂的聚合工艺, 使聚合无诱导期, 2~3 min 就可以得到最高活性, 而后稍有降低, 在 1 h 之内基本保持平稳聚合(图 1), 大大提高了催化剂的催化活性($3.62 \times 10^7 \text{ g}/(\text{mol} \cdot \text{h})$), 所得的聚合物表观密度较高($0.35 \sim 0.43 \text{ g}/\text{cm}^3$), 而且不粘釜。在聚合条件基本相同的实验条件下, 聚合物载体催化剂的活性和动力学行为都优于 EXXON 公司催化剂^[10], 具有很大的工业化意义。

聚合物载体茂金属催化剂具有以下特点:

- 保持均相茂金属的特性, 如单一的活性中心、窄的分子量分布, 但分子量较高(表 1), 比均相 Cp^2ZrCl_2 制得的聚乙烯的分子量高 2~4 倍。

然而,分子量和分子量分布是可调的,分子量可调范围为 10 000~350 000,分子量分布范围为 2.5~8.0.

表 1 所得聚乙烯的分子量及其分布

Tab. 1 Molecular weight and molecular weight distribution of polyethylene produced by $\text{PSA}^{\circ}\text{ Zr}/\text{MAO}$

Polyethylene	$10^{-5} M_w$	$10^{-5} M_n$	M_w / M_n
PE-2A	3.24	1.19	2.7
PE-2B	3.11	1.12	2.8
PE-2C	3.38	1.24	2.7
PE-2D	3.38	1.29	2.6

Polymerization conditions $n(\text{Al})/n(\text{Zr}) = 500$, ethylene pressure 0.7 MPa, 50°C, 1 h.

b. 催化剂粒子基本为球形或类球形,能很好的控制聚合物形态,催化剂的颗粒在聚合物中能进行复制(图 2).

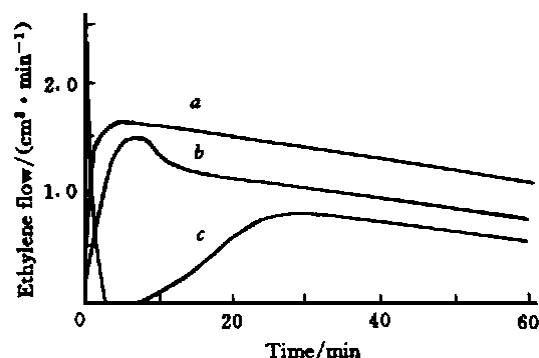
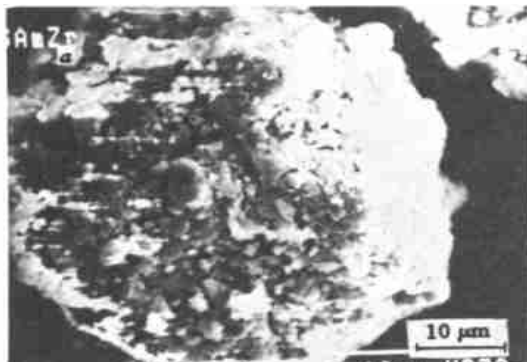


图 1 茂金属催化聚合时乙烯耗量与聚合时间的关系

Fig. 1 Ethylene consumption vs polymerization time over metallocene catalyst

a. aged polymer-supported metallocene (20°C, 0.5 h);

b. not aged polymer-supported metallocene;

c. reference^[10]

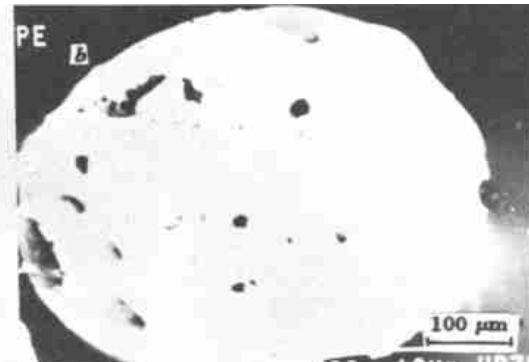


图 2 聚合物载体茂金属 (a) 和聚乙烯颗粒 (b) 的显微照片

Fig. 2 Micrograph of (a) polymer-supported metallocene particle and (b) granule of polyethylene

c. 制备方法简单,成本低,以已经工业化的产品作聚合物载体的原料. 茂锆金属为典型的 Cp_2ZrCl_2 ,比其它取代和桥联茂金属便宜得多,其成本接近于第 3、4 代 Z-N 催化剂,故制得的聚合物载体茂金属催化剂成本较低^[11].

d. 用本催化剂制备的聚乙烯灰分为 40~80 μg/g,比已经工业化的 Ziegler-Natta 催化剂低得多(表 2).

e. 适合于气相和淤浆聚合. 实验表明,该催

表 2 不同催化剂所得聚乙烯的灰份

Tab. 2 The ash in polyethylene by different catalysts

Catalyst	Ash in polyolefin / ($\mu \text{g} \cdot \text{g}^{-1}$)
Ziegler-Natta	300~1000
M etallocene	300 (ash limit)
PSA [°] Zr	40~80

化剂在气相和淤浆聚合中,以较低的铝锆比,均表现出较高的活性,并且聚乙烯的表观密度较高($0.35 \sim 0.43 \text{ g/cm}^3$)(表 3,表 4).

表 3 $\text{PSA}^{\circ}\text{ Zr}/\text{MAO}$ 的气相催化聚合乙烯结果

Tab. 3 Ethylene polymerization with $\text{PSA}^{\circ}\text{ Zr}/\text{MAO}$ in gas phase process

Zr μmol	$n(\text{Al})/n(\text{Zr})$	t °C	Butene-1 %	10^{-7} Activity / ($\text{g} \cdot \text{mol}^{-1} \cdot \text{h}^{-1}$)	Bulk density / ($\text{g} \cdot \text{cm}^{-3}$)
17	300	60	12.5	0.11	0.43
15	500	80	0	0.83	0.41
17	500	90	0	0.84	0.40
14	600	90	0	1.15	0.41

Polym. condition 1.5 L agitated bed, 1 h.

表 4 PSAm° Zr /MAO对乙烯的淤浆聚合结果

Tab. 4 Ethylene polymerization with PSAm° Zr /MAO in slurry process

Zr μ mol	n(Al) /n(Zr)	t/℃	Pressure /M Pa	Activity /($\text{g}^\circ \text{ mol}^{-1} \text{ h}^{-1}$)
5	300	50	0.10	0.10
5	500	50	0.10	0.15
15	600	70	0.14	0.30
13	600	70	0.70	3.51
11	300	80	1.00	3.62

Polym. condition 2 L polym. Pot, 1 L hexane solvent, 1 h.

参 考 文 献

- Soga K, Kaminaka M. *Macromol Chem Rapid Commun*, 1991, **12**: 367
- Kaminaka M, Soga K. *Polymer*, 1992, **33**(5): 1105
- Chien J C W, He D. *J Polym Sci, Part A: Polym Chem*, 1991, **29**: 2603
- Collins S, Kelley W M, Holden D A. *Macromolecules*, 1992, **25**: 1780
- Soga K, Kaminaka M. *Macromol Chem*, 1993, **194**: 1745
- Kaminsky W, Renner F. *Macromol Chem, Rapid Commun*, 1993, **14**: 239
- Nishid M, Arai T, Uozumi T, et al. *Macromol Chem Rapid Commun*, 1995, **16**: 821
- Philips Petroleum Co. USP 5 473 020
- LIU Sheng-Sheng (刘胜生), YU Guang-Qian (于广谦), HUANG Bao-Tong (黄葆同). CN 1 186 812A, 1996
- Roscoe S B, Frechet J M J, Walzer J F, et al. *Science*, 1988, **280**: 270
- Grater Gert-Jam M, SRI International Metallocenes Catalysts for the New Polyolefin Generation, 1993, **1**: 35

A Novel Type of Polymer-Supported Metallocene Catalyst for Ethylene Polymerization

YU Guang-Qian*, ZHANG De-Ze, SUN Fu, QIAO Li-Jun, TANG Tao, HUANG Bao-Tong
(State Key Laboratory of Polymer Physics and Chemistry, Changchun Institute of Applied Chemistry, Chinese Academy of Sciences; Union Laboratory of Polymer Chemistry Chinese Academy of Sciences and China Petro-Chemical Corporation, Changchun 130022)

Abstract A novel polymer-supported metallocene catalyst has been prepared. The polymer-supported metallocene displayed considerably high activity in ethylene polymerization, the highest being $3.62 \times 10^7 \text{ g}/(\text{mol}^\circ \text{ h})$, the molecular weight of the polyethylene produced was $M_n = 1.29 \times 10^5$, about 3~4 times those prepared by corresponding homogeneous zirconocenes.

The polymer-supported metallocene [poly(styrene-acrylamide) supported zirconocene] keeps the characteristics of homogeneous metallocene catalysts, and offers some features, such as adaptable to gas phase and slurry processes; easy to prepare in low cost; relatively high activity and lower MAO/Zr ratio; lower inorganic residues in the polyolefins as compared to those using SiO_2 , Al_2O_3 or MgCl_2 ; unitary active structure, no complex surface as with SiO_2 ; good control of morphology of the resulting polymer.

Keywords polymer-support, metallocene catalyst, ethylene polymerization